

CIA




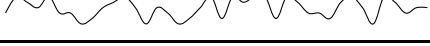
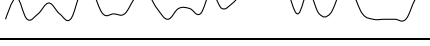
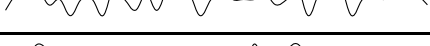
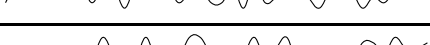
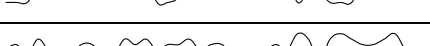
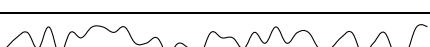

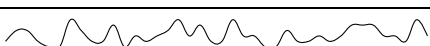







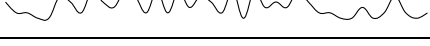
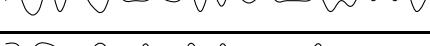
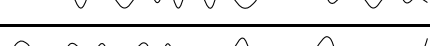
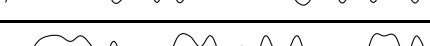
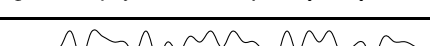

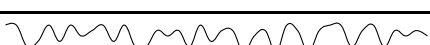

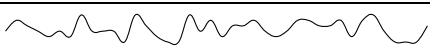




CENTRAL INTELLIGENCE AGENCY



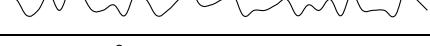
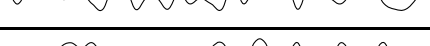
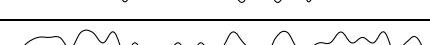
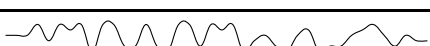
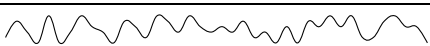



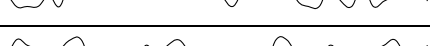

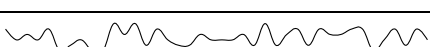
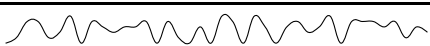


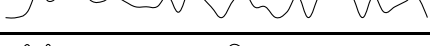
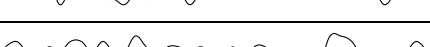

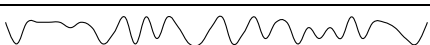

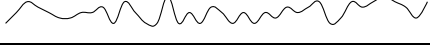
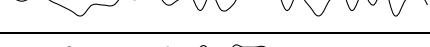
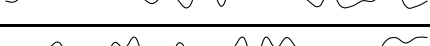

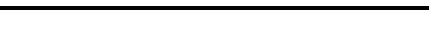





Operace: GHOST VERTEX

Lokace: Základna CIA, Hoštejn

ID: 1790999038

Datum	Čas	Záznam signálu	Zaznamenané lokace
2022/02/01	16:53:12		Y5, U22, R10, K17
2022/02/03	21:59:42		V3, D14, K6, Z3
2022/02/05	18:15:34		X2, K9, L4, A5, P16, J2
2022/02/06	09:58:16		J21, R9, O21, M22
2022/02/13	03:51:12		D8, I9, B17, I2, F16, X14
2022/02/15	03:08:37		X1, Z22, R9, M7
2022/02/17	12:34:18		A13, V6, P8, W17, L12
2022/02/18	13:21:42		J3, W7, V3, N23
2022/02/26	01:30:24		E15, Z18, Y15, S17
2022/02/27	10:55:29		T24, Q3, C17, A16, C5
2022/03/16	04:03:15		S22, D12, H25, D11
2022/03/16	09:59:18		J19, N11, Z19, R24, A1, W24
2022/03/19	04:34:01		J14, Z17, B25, X2, V5
2022/03/21	21:40:06		Y22, U13, I18, X26, I16
2022/03/27	13:44:50		O10, C9, J14, N18, V16
2022/03/28	10:30:48		V4, G15, O19, B8
2022/04/01	01:08:53		C9, J9, L10, F7, T1, V23
2022/04/03	04:36:25		J7, B14, B6, E17
2022/04/07	04:20:50		N24, X12, D17, O18, P5
2022/04/09	14:07:02		K8, Y25, R23, J25
2022/04/10	08:01:39		E12, I23, X14, K23, R20, X22
2022/04/11	06:44:58		A18, B19, Z21, M17, R3
2022/04/11	13:50:17		G10, J14, Y17, K15, D14, P9
2022/04/15	22:14:31		N18, L2, Q4, Q22, S26
2022/04/15	22:35:39		S19, K20, I18, G25, P8
2022/04/19	04:39:56		B12, K8, A3, X21, F4
2022/04/24	08:55:45		Q19, X3, G17, Y14, Z25, F12
2022/05/02	20:57:45		I10, W10, O3, J4
2022/05/06	15:03:10		Q16, L26, O6, G26
2022/05/10	23:38:48		N18, J7, W22, F4, O26
2022/05/13	07:50:12		Z9, U13, U15, K16

Datum	Čas	Záznam signálu	Zaznamenané lokace
2022/05/14	07:20:21		Q1, I18, P16, W24, Q5, R26
2022/05/14	17:20:11		Z24, C21, H17, S1, K1
2022/05/19	02:22:47		V15, W9, C16, U18
2022/05/21	00:36:40		P7, T17, C10, B2, R23
2022/05/21	19:20:39		K8, I5, P9, J26, R17, G4
2022/06/04	00:12:19		R2, B24, O10, W20
2022/06/09	05:20:51		I12, T12, E17, W4
2022/06/10	21:11:37		T12, K8, H26, G17, M10
2022/06/14	19:07:13		W17, P19, Q11, V18, R15, J14
2022/06/14	22:12:30		Y16, J22, C17, F16, Q8, C16
2022/06/15	07:58:04		W8, H2, T20, Y5
2022/06/17	14:36:39		Z24, K5, B11, V20, P12
2022/06/21	14:39:28		K1, M3, I7, R12
2022/06/24	01:34:23		M20, Z23, H20, R19, U24, F16
2022/06/25	13:19:53		D4, H15, I18, Y22, V25
2022/06/26	16:14:51		C16, G13, K11, H5, F8, J26
2022/06/28	12:07:53		F1, B9, N23, S12, W15
2022/06/30	00:47:37		Z26, E22, S21, H1, Z5
2022/07/01	06:10:45		K8, Z12, O18, M6, N1
2022/07/05	22:40:20		V14, S20, R9, Q26
2022/07/06	14:49:55		S17, C23, F4, R24, X14, K3
2022/07/09	15:46:41		O15, K8, Z4, F21, W22
2022/07/11	19:33:17		W22, L7, C14, C3, J14, R23
2022/07/12	21:16:15		A10, P25, K5, L10, X16, O14
2022/07/14	02:02:34		R3, J18, H4, O22, E17, X8
2022/07/14	05:52:05		X18, C10, Z21, C12
2022/07/17	04:27:32		G9, H12, F11, M24
2022/07/19	20:34:11		L20, U11, Y17, O13, F3, R19
2022/07/24	06:04:01		T20, G6, F20, Q17, L8

OPERACE HEXAHEDRON

Operace Hexahedron slouží k monitorování elektromagnetického záření v radiovém spektru vyzařovaného Objektem. V okolní oblasti bylo ve dnech 4. – 6. 8. 2022 vybudováno celkem 6 měřících stanic, které jsou strategicky rozmístěny, aby eliminovaly rušení způsobené hustým lesním porostem.

K dosažení maximální přesnosti je nutné potvrdit zdrojovou lokaci požadovaného signálu na 3 měřících stanicích. Korektní oblast původu záření je ta, která byla naměřena každou z těchto 3 stanic.